

(660) 原子炉圧力容器用鋼溶接部の使用温度域での延性破壊抵抗

（株）日本製鋼所 室蘭製作所

○工博 岩館忠雄 田中泰彦
竹俣裕行 兜森俊樹

1. 緒言 原子炉圧力容器用鋼の使用温度は室温から300°C付近にある。したがって、本研究では使用温度域での安全性の評価を目的に、板厚300mmのA508 Cl.3鋼母材および溶接部の破壊靱性KICを計測するとともに、安定き裂の進展挙動を検討し、稼働時の延性破壊抵抗の評価を行った。

2. 供試材および試験方法 試験に供した母材および溶接金属の化学成分および機械的性質を表1および表2に示す。ここで、使用した溶接棒はUS56BXであり、フラックスはMF27Xである。溶接入熱量は40KJ/cmであり、溶接後620°C、26.5時間の応力除去焼鈍を行った。

使用した試験片は主としてASTM E813-81の推奨する25%のサイドグループを有する1T-CT試験片である。採取位置は、 $\frac{1}{4}t$ であり、採取方向はT-L方向である。試験は著者らが開発したコンピュータ制御による除荷コンプライアンス法を使用した。高温での加熱にはヒートテープを用い、クリップゲージには水冷を施した。J値の計算にはASTM E813-81の推奨する進展き裂の式を用いた。

3. 試験結果 (1) 室温から300°Cの温度域は母材および溶接金属とともに破壊靱性KICのUpper Shelf域に位置する(図1)。(2) Upper Shelf域でのJICから換算されたKIC(J)は、母材よりも溶接金属が小さい(図1)。またKIC(J)は試験温度の上昇とともに低下を示すが、300°CでのKIC(J)はいずれも180MPa $\sqrt{\text{m}}$ 以上の高い破壊靱性を有する。

(3) テアリングモジュラス、 $T_J (=E/\sigma_y^2 \cdot dJ/d\alpha)$ は、安定き裂の進展量が2.0mm以上でほぼ一定の値を示す(図2、図3)。また T_J 値は母材および溶接部とともに温度依存性を示さず、延性破壊抵抗の評価のパラメータとして有効である(図2)。(4) HAZ部近傍の T_J 値の優劣はつけがたいが、母材および溶接金属の T_J 値は明らかにHAZ部近傍の材料に比較して小さく、 $T_J \approx 60$ である。HAZ部近傍では $T_J \approx 190$ である。(5) T_J 値におよぼす試験寸法の影響を検討したが、0.5T-CT～3T-CT試験片において、ほぼ一致した T_J 値が得られた。

(参考文献) (1) 岩館ほか、機講論 NO.810-11(昭56), P.21 図3 溶接部の T_J と Δa の関係(100°C)

表1 供試材の化学成分

	C	Si	Mn	P	S	Ni	Cr	Nb	V	Al
A508 Cl.3	0.20	0.27	1.33	0.003	0.004	0.76	0.08	0.47	<0.01	0.076
Base Metal	0.23	0.27	1.36	0.009	0.007	0.95	0.36	0.50	<0.01	0.007
Weld Metal										

表2 供試材の機械的性質

	0.2% Offset Strength MPa	Tensile Strength MPa	Elongation %	Reduction of Area %	FATT °C	VE shelf J	NDTT °C
A508 Cl.3							
Base Metal	436	582	27.2	71.0	0	202	-30
Weld Metal	535	622	26.1	72.8	-36	186	-60

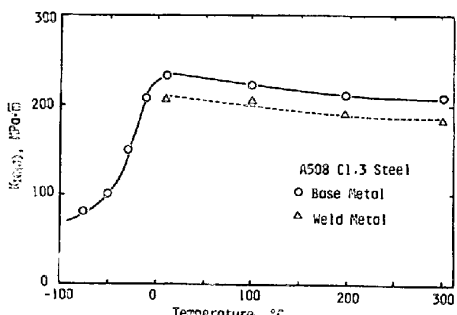
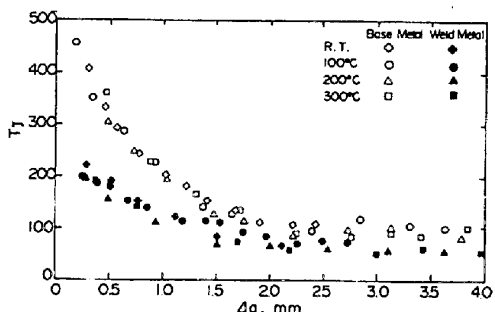


図1 供試材のKIC遷移特性

図2 R.T.～300°Cの T_J と Δa の関係